## О применении для нормировки классифицированной выборки наблюдений при распознавании объектов по межчастотному корреляционному признаку

### Владимир Бартенев (bartvg@rambler.ru)

В статье приведены результаты сравнительного анализа двух способов формирования межчастотного корреляционного признака, используя как оценку максимального правдоподобия модуля межчастотного коэффициента корреляции, так и оценку межчастотного коэффициента корреляции с нормировкой по классифицированной выборке наблюдений. Анализ выполнен с использованием аналитического подхода, который верифицирован моделированием в MATLAB. Сделан вывод о том, что применение предложенного способа нормирования заметно повышает эффективность правильной классификации протяжённого объекта и требует меньшей выборки наблюдений.

Задача распознавания коррелированных сигналов по дискретным выборкам конечного объёма возникает во многих технических приложениях. Весьма актуальна, например, задача распознавания типов целей [1] или защита РЛС от дискретных коррелированных мешающих отражений [2]. В работе [2] показано, что для классификации отражённых сигналов обнаруженных объектов по их продольному размеру можно использовать характер флюктуаций отражённых сигналов на разных несущих частотах, оценивая межчастотный коэффициент корреляции (1), где  $\stackrel{\curvearrowleft}{R_1}$  – оценка модуля межчастотного коэффициента корреляции, N – число накоплений по независимым выборкам (обзорам РЛС).  $Z1_{i}=x1_{i}+iy1_{s}$ ,  $Z2_{i}=x2_{i}+iy2_{i}$  – комплексные выборки классифицируемых эхо-сигналов обнаруженного объекта на входе, принятых в двух частотных каналах на разных несущих частотах. В частности, в основе этого сигнального признака классификации лежит взаимосвязь значения межчастотного коэффициента корреляции с линейными размерами объекта. Чем больше размер объекта,

ведения  $R_2$  сравнивается с порогом (2).

тем меньше межчастотный коэффици-

Полученная таким образом оценка модуля межчастотного коэффициента корреляции сравнивается с порогом, на основании чего принимается решение о наличии обнаруженного объекта с большим продольным размером (порог не превышен) или малого продольного размера (порог превышен). Хотя данный способ позволяет осуществлять классификацию объектов по межчастотному корреляционному признаку, однако использование одних и тех же выборок наблюдения как для формирования накопленного произведения, т.е. числитель (2), так и для нормировки к мощности принимаемых сигналов - знаменатель (2), снижает его эффективность. Если же для нормировки оценки модуля межчастотного коэффициента корреляции использовать независимые выборки наблюдений, например, из соседнего элемента дальности, то, как будет показано ниже, это приводит к существенному повышению вероятности правильной классификации объектов.

Таким образом, с целью повышения эффективности распознавания обнаруженных объектов по их продольному размеру предлагается способ классификации, который включает в себя формирование оценки модуля межча-

$$\hat{R}_{1} = |(\sum_{j=1}^{N} Z1_{j} * Z2_{j}^{*})| =$$

$$= \sqrt{(\sum_{j=1}^{N} x1_{j} * x2_{j} + y1_{j} * y2_{j})^{2} + (\sum_{j=1}^{N} x2_{j} * y1_{j} - x1_{j} * y2_{j})^{2}}$$

$$\hat{R}_{2} = |(\sum_{j=1}^{N} Z1_{j} * Z2_{j}^{*})| / |(\sum_{j=1}^{N} Z1_{j} * Z1_{j}^{*}) * (\sum_{j=1}^{N} Z2_{j} * Z2_{j}^{*})| =$$

$$\frac{N}{N}$$
(2)

$$= \sqrt{\left(\sum_{j=1}^{N} x \mathbf{1}_{j} * x \mathbf{2}_{j} + y \mathbf{1}_{j} * y \mathbf{2}_{j}\right)^{2} + \left(\sum_{j=1}^{N} x \mathbf{2}_{j} * y \mathbf{1}_{j} - x \mathbf{1}_{j} * y \mathbf{2}_{j}\right)^{2}} / \sqrt{\left(\sum_{j=1}^{N} x \mathbf{1}_{j} * x \mathbf{1}_{j} + y \mathbf{1}_{j} * y \mathbf{1}_{j}\right)^{2} \left(\sum_{j=1}^{N} x \mathbf{2}_{j} * x \mathbf{2}_{j} - y \mathbf{2}_{j} * y \mathbf{2}_{j}\right)}$$

$$(2)$$

$$\hat{R}_{\gamma} < R_{TOP} \tag{3}$$

$$W_{(R)} = 2(N-1)(1-\frac{^{2}}{R})^{N-2} \frac{^{2}}{R}(1-\frac{^{2}}{R})^{N} \sum_{k=0}^{N-1} \frac{^{2}k}{(RR)} \frac{^{2k}\Gamma(N+k)}{\Gamma(N-k)\Gamma}$$
(4)

$$W(\hat{R}) = 2(\hat{R})(1 - \hat{R}^2)^{N-2}(N - 1)$$
(5)

$$P(R_{nop}) = 1 - (1 - R_{nop}^2)^{N-1}$$
(6)

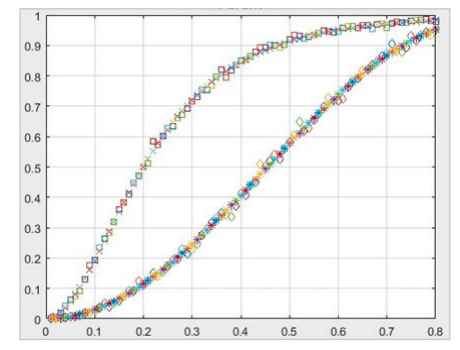


Рис. 1. Зависимость вероятности правильной классификации протяжённых объектов от порога для N = 4 в классификаторе с нормировкой независимыми выборками наблюдений (крестики – аналитика, квадраты – моделирование) и с нормировкой зависимыми выборками наблюдений (звёздочки – аналитика, ромбики – моделирование)

стотного коэффициента корреляции с нормировкой на основе двух выборок наблюдений, принятых за несколько обзоров на двух несущих частотах РЛС, и сравнение этой оценки с порогом в элементе дальности с обнаруженным объектом и присвоением при непревышении этого порога в анализируемом элементе дальности признака объекта с большим продольным размером [3].

При этом выборки наблюдений из вспомогательного элемента дальности, принятые за несколько обзоров на двух несущих частотах РЛС, соответствуют предшествующему соседнему элементу дальности по отношению к анализируемому и сохраняются на время, равное длительности элемента дальности.

Таким образом, предлагаемый способ классифицированной нормировки раскрывает новые функциональные возможности распознавания по межчастотному корреляционному признаку. Это позволяет сделать вывод о соответствии заявляемого способа критерию «существенные отличия».

Для того чтобы сформировать межчастотный коэффициент корреляции, в известном способе-прототипе используют операции в соответствии с формулой (2). Важно подчеркнуть, что нормировка производится на основе той же выборки наблюдений, которая используется для расчёта числителя. Решение о том, что объект протяжённый, принимается, если:

$$R_2 < R_{TOP}$$
. (3)

Проиллюстрируем работу предлагаемого способа прототипа на конкретном примере, прибегнув как к аналитическому расчёту, так и к моделированию с помощью системы MATLAB [5].

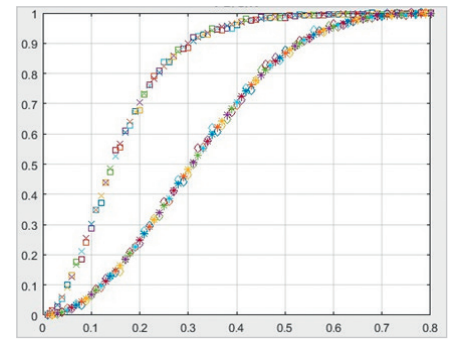


Рис. 2. Зависимость вероятности правильной классификации протяжённых объектов от порога для N = 8 в классификаторе с нормировкой независимыми выборками наблюдений (крестики – аналитика, квадраты – моделирование) и с нормировкой зависимыми выборками наблюдений (звёздочки – аналитика, ромбики – моделирование)

Осуществим классификацию протяжённого объекта, используя две выборки наблюдений с межчастотным коэффициентом корреляции R=0. Корреляционный порог  $R_{\text{пор}}$  в расчётах будем менять от 0,1 до 0,9. Число независимых накоплений (обзоров) возьмём N=4,8 и 16.

Для нахождения вероятности правильной классификации протяжённого объекта по непревышению оценкой порога  $R_{\text{пор}}$  можно воспользоваться распределением Уишарта. В работе [4] получено распределение оценки модуля межчастотного коэффициента корреляции из распределения Уишарта (4), где  $\Gamma(...)$  – гамма-функция.

Для протяжённых объектов R = 0, и распределение (3) можно представить в более простом виде (5).

Используя (5), можно получить формулу для вероятности правильной классификации протяжённых объектов, как вероятность непревышения порога (6).

Для верификации данной формулы было проведено моделирование с помощью системы МАТLAВ [6] классификатора прототипа с расчётом для разных значений порога  $R_{\text{пор}}$ и числа обзоров N = 4, 8 и 16 (см. рис. 1, 2 и 3, соответственно, где приведена зависимость вероятности правильной классификации протяжённых объектов от порога для оценки модуля межчастотного коэффициента корреляции с нормировкой, как это делается в прототипе, звёздочки – аналитика, ромбики - моделирование (крестики аналитика, квадраты - моделирование)). Результаты моделирования хорошо совпадают с аналитическими расчётами, что позволяет сделать вывод о достоверности применяемых формул при анализе эффективности способа, используемого в прототипе.

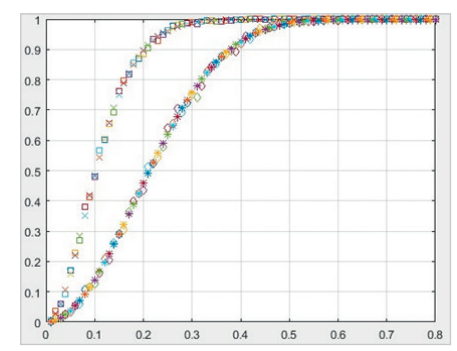


Рис. 3. Зависимость вероятности правильной классификации протяжённых объектов от порога для *N* = 16 в классификаторе с нормировкой независимыми выборками наблюдений (крестики – аналитика, квадраты – моделирование) и с нормировкой зависимыми выборками наблюдений (звёздочки – аналитика, ромбики – моделирование)

Перейдём к анализу эффективности предложенного способа распознавания. Принципиальное отличие предложенного способа от известного состоит в том, что в формуле (2) для того, чтобы алгоритм был нечувствителен к изменению мощности принимаемых сигналов, нормировку, т.е. деление на знаменатель оценку мощности сигналов, принятых в двух частотных каналах, производят на основе другой выборки наблюдений, а не той, которая используется для расчёта выражения в числителе (2). Именно поэтому в этом случае нормировка производится независимой выборкой наблюдений. Для этого предлагается производить дополнительные оценки мощности принимаемых сигналов в соседнем элементе дальности на двух несущих частотах:

$$z1 = \sum_{i=1}^{N} \text{Re}(Z_{1i}) \text{Re}(Z_{1i}) + \text{Im}(Z_{1i}) \text{Im}(Z_{1i})$$

$$z2 = \sum_{i=1}^{N} \text{Re}(Z_{2i}) \text{Re}(Z_{2i}) + \text{Im}(Z_{2i}) \text{Im}(Z_{2i})$$

Суммирование оценок мощности Z=(z1+z2) и умножение на  $R_{\text{пор}}$  даёт величину адаптивного порога, непревышение которого и есть вероятность правильной классификации протяжённого объекта:

$$R_1 < R_{\tiny POP} Z_{s^*}$$

Считая независимыми оценки модуля межчастотного коэффициента корреляции, т.е. числителя в (2), и оценки мощности принимаемых сигналов в соседнем элементе дальности, можно получить выражение для вероятности правильной классификации предложенного способа (7).

Считая, что оценка мощности принимаемых сигналов  $Z_s$  имеет распределение  $\chi^2$ , а выражение в числителе (2) имеет распределение [5]:

$$P(R_{mor}) = 1 - \int_{0}^{\infty} P(Z_S) dZ_S \int_{R_{mor}}^{\infty} P(R) dR$$
 (7)

$$P(R_{\Pi OP}) = 1 - \int_{0}^{\infty} \frac{Z_{s}^{N-1} e^{-z_{s}/2\sigma^{2}}}{\Gamma(N)(2\sigma^{2})^{N}} \frac{(R_{\Pi OP} Z_{s}/\sigma^{2})^{N} K_{N}(R_{\Pi OP} Z_{s}/\sigma^{2})}{\Gamma(N)(2)^{N-1}} dZ_{s}$$
(8)

$$P(R_{\Pi OP}) = 1 - \sqrt{\pi} R_{\Pi OP}^{2N} \Gamma(3N) / 2^{(4N-1)} \Gamma(2N+1/2) \Gamma(N)_{2} F_{1}(\frac{3N+1}{2}, \frac{3N}{2}; 2N+1/2; 1-4R_{\Pi OP}^{2})$$
(9)

$$P(R) = \frac{(R/\sigma^2)^N K_{N-1} (R/\sigma^2)}{\Gamma(N)(2)^{N-1}},$$

где  $\Gamma(.)$  – гамма-функция,  $K_{N-1}(.)$  – модифицированная функция Бесселя порядка N-1 и  $\sigma^2$  – суммарная мощность принимаемых сигналов, в результате искомая вероятность правильной классификации  $P(R_{\text{пор}})$  примет вид (8).

После взятия интеграла получаем (9), где  $_2$ F $_1$ (.) – гипергеометрическая функция. Дальнейший анализ производился не только аналитическим расчётом по полученной формуле (8), но и, для верификации, моделированием предложенного способа в МАТЛАБ.

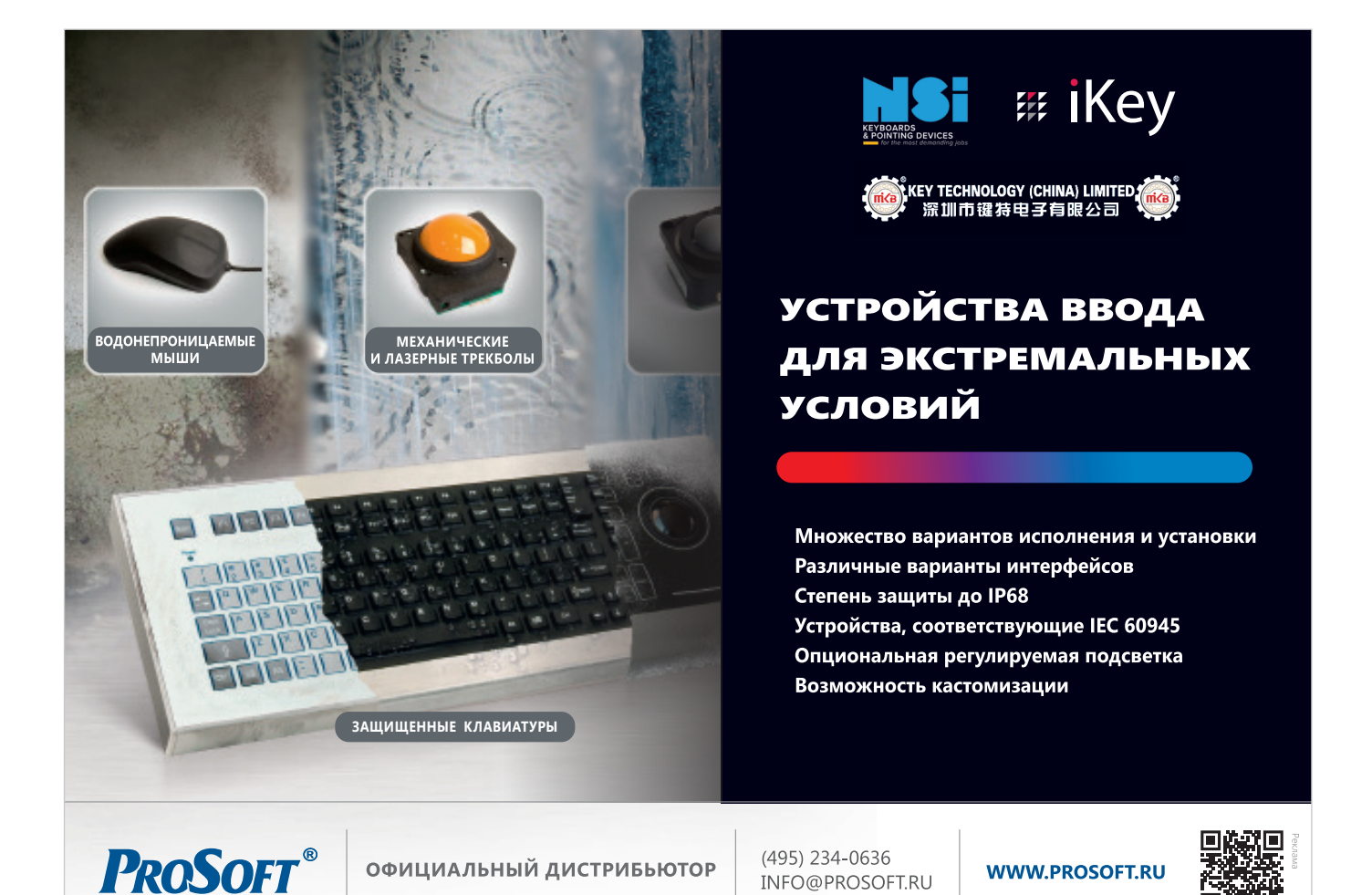
Результаты аналитических расчётов и моделирования показали их хорошее совпадение для N = 4,8 и 16 (см. рис. 1,2 и 3, соответственно, где приведена зависимость вероятности правильной классификации протяжённых объектов от порога для оценки модуля межчастотного коэффициента корреляции с нормировкой, как это делается в предложенном способе, крестики – аналитика, квадраты – моделирование).

Результаты исследования полностью подтверждают, что применение независимых выборок наблюдения для нормировки оценки модуля межчастотного коэффициента корреляции заметно повышает эффективность классификации. Так, уже за 4 обзора при формировании модуля межчастотного коэффициента корреляции с нормировкой независимыми выборками уда-

ётся получить вероятность правильной классификации протяжённого объекта практически такую же, как при использовании нормировки зависимыми выборками наблюдений за 16 обзоров.

### Литература

- Bartenev V. Radar objects classification using inter frequency correlation coefficient. Report on the International conference RADAR 2016. China, Oct. 2016.
- Бартенев В.Г. Патент «Способ классификации и бланкирования дискретных помех» № 2710894. Опубликован: 14.01.2020. Бюл. № 2.
- Бартенев В.Г. Патент «Способ классификации объектов по межчастотному корреляционному признаку» № 2776989. Опубликован: 29.07.2022. Бюл. № 22.
- Бартенев В.Г. О распределении оценки модуля коэффициента корреляции // Современная электроника. 2020. № 8.
- Бартенев В.Г., Бартенев М.В. Способ нахождения вероятностных характеристик на выходе нелинейных систем // Цифровая обработка сигналов. 2014. № 4.
- 6. Потёмкин В.Г. Справочник по MATLAB. Анализ и обработка данных // URL: http://matlab.exponenta.ru/ml/book2/chapter8/.



## Подписка только для юридических\* лиц

\*Выход каждого нового номера будет сопровождаться полным комплектом закрывающих бухгалтерских документов.

# Журнал «СОВРЕМЕННАЯ ЭЛЕКТРОНИКА»

Издание	Назначение платежа	Периодичность выхода	Подписная цена, руб.	
СОВРЕМЕННАЯ ЭЛЕКТРОНИКА	Подписка на 2023 год	9 номеров в год	9,000.00	

OOO «CTA-ΠΡΕCC»

ИНН: 7726208996, КПП: 772801001,

OFPH 1037739253100,

ПАО АКБ «АВАНГАРД», БИК 044525201,

к/сч 30101810000000000201, p/сч 40702810100070000708.

## Счет на оплату № ПЮ01-2022 от 10 октября 2022 г.

Поставщик ООО «СТА-ПРЕСС», ИНН: 7726208996, КПП: 772801001

(Исполнитель): РФ, 117437, г. Москва, ул. Профсоюзная, д. 108, пом I ком 67, тел. + 7 (495) 234-06-35

Основание: **Счет № ПЮ01-2022 от 10 октября 2022 г.** 

Nº	Товары (работы, услуги)	Кол-во	Ед.	Цена	Сумма
1	Подписка на журнал «СОВРЕМЕНАЯ ЭЛЕКТРОНИКА» на 2023	9	шт	1000.00	9,000.00
	год				

Итого: 9,000.00

В том числе НДС: 818.19 Всего к оплате: 9,000.00

Всего наименований 1, на сумму 9000,00 руб.

Девять тысяч рублей 00 копеек

#### Внимание!

При оплате счёта укажите в платёжном поручении в графе «Назначение платежа» полный адрес доставки (с почтовым индексом), телефон для связи (с кодом города), контактное лицо, e-mail.

Оплата данного счета означает согласие с условиями поставки товара.

Руководитель

